

状態方程式の数値計算とグラフ化 第12報

笹村 泰昭*・宇野 克志*

Graphical Representation of Numerical Calculation Results for Equations of State – Part XIII –

Yasuaki SASAMURA and Katsushi UNO

要 旨

CO₂, CH₄, C₂H₄ 個々の物質の実測値にフィットする様に cubic 型の状態方程式の定数探索を試みた。一般化式の場合よりも実測値をより正しく表わすことが可能であった。簡便さを考慮し Redlich-Kwong 型の式 $P = \frac{RT}{v-b} - \frac{aT^{-h}}{v(v+c)}$ が優れている。

Abstract

We determined the constants of the cubic equations of state to fit for experimental data of CO₂, CH₄ and C₂H₄. Considering the simplicity, the Redlich-Kwong type equation $P = \frac{RT}{v-b} - \frac{aT^{-h}}{v(v+c)}$ is the better one at the present time.

1. 緒 言

著者らは前報¹⁾までに種々の状態方程式の数値計算結果を $v \sim P$, $P \sim z$, $P_r \sim z$, 立体図として表わし、さらに実測値への最適化などについて述べてきた。本報では cubic 型の式の個々の物質の実測値への最適化とパソコンによる一般化式の評価プログラムについて報告する。

2. cubic 型状態方程式

1873年の van der Waals 式以来数多くの cubic 型の状態方程式が提出されている。なかでも 1949年に提出された Redlich-Kwong 式²⁾は van der Waals 式と同じ 2 定数式でありながら非常に良く実測値を表わすことができ優れた式である。今日の状態方程式の研究はこの Redlich-Kwong 式の修正あるいは改良が主流である。それらを次の 3 つの型に整理してみた。

Redlich-Kwong 型

$$P = \frac{RT}{v-b} - \frac{aT^{-h}}{v(v+c)} \quad \dots(1)$$

ただし a, b, c, h は(1)式の定数
Moritz 型

$$P = \frac{RT}{v-b} - \frac{aT^{-h}}{v^2 + ubv + wb^2} \quad \dots(2)$$

ただし a, b, u, w, h は(2)式の定数
Kojima-Tochigi (Ishikawa-Chung-Lu)型

$$P = \frac{RT}{v} \cdot \frac{v+s \cdot b}{v-(1-s)b} - \frac{aT^{-h}}{v(v+c)} \quad \dots(3)$$

ただし a, b, c, s, h は(3)式の定数

(1)式は元の Redlich-Kwong 式の第二項目の b を物質固有の補正定数 c に置き換え、さらに温度補正項の指数を -0.5 に固定せず温度変化に伴う挙動を表す定数とし可変できる様に -h とした³⁾。定数 c をもうけると 2 定数式では臨界圧縮係数 Z_c が固定される不都合が無くなる。この様な式の工夫は Fuller⁴⁾, Usdim ら⁵⁾, 大江ら⁶⁾の報告にも見られる。(2)式は Relich-Kwong 式の第 2 項目の分母の 2 次式に定数 u, w が導入された式で u = 1, w = 0 が元の Redlich-Kwong 式, u = 2, w = -1 が Peng-Robinson 式⁷⁾である。Peng-Robinson 式は原報では第 2 項目の分子に acentric factor (ω) が入った 2 次式である。(3)式は Redlich-Kwong 式の第 1 項目を剛体球理論に基

* 助教授 工業化学科

づいて修正した式で $m=4s=2$ が石川ら⁹⁾の式、 $m=1.5$ が小島ら⁹⁾の式である。

(1)~(3)式を体積 v についていわゆる cubic 型に展開すると(4)~(6)式の様になる。

$$v^3 - \left(b - c + \frac{RT}{P} \right) \cdot v^2 + \left(\frac{aT^{-h}}{P} - bc - \frac{cRT}{P} \right) \cdot v - \frac{abT^{-h}}{P} = 0 \quad \dots(4)$$

$$v^3 - \left(\frac{RT}{P} + b - ub \right) \cdot v^2 + \left(wb^2 - ub^2 - \frac{RT}{P} + ub + \frac{aT^{-h}}{P} \right) \cdot v - \left(wb^3 + \frac{RT}{P}wb^2 + \frac{abT^{-h}}{P} \right) = 0 \quad \dots(5)$$

$$v^3 - \left\{ (1-s)b - c + \frac{RT}{P} \right\} \cdot v^2 + \left\{ \frac{aT^{-h}}{P} - \frac{sbRT}{P} - (1-s)bc - \frac{cRT}{P} \right\} \cdot v - \left\{ \frac{(1-s) \cdot abT^{-h}}{P} + \frac{sbRT}{P} \right\} = 0 \quad \dots(6)$$

(4)~(6)式に定数を与え温度 T を決め種々の圧力 P に対する体積 v はそれぞれの式の三次式の解である。

圧縮係数 z は $z = P \cdot v / RT$ であるので換算圧力 P_r 換算温度 T_r を導入すると(4)~(6)式は(7)~(9)式の様になる。

$$z^3 - (B - C + 1) \cdot z^2 + (A - BC - C) \cdot z - AB = 0 \quad \dots(7)$$

$$z^3 - (1 + B - uB) \cdot z^2 + (uB^2 - uB^2 - uB + A) \cdot z - (uB^3 + uB^2 + AB) = 0 \quad \dots(8)$$

$$z^3 - \{(1-s) \cdot B - C + 1\} \cdot z^2 + \{A - sB - (1-s) \cdot B \cdot C - C\} \cdot z - \{(1-s) \cdot AB + sB \cdot C\} = 0 \quad \dots(9)$$

ただし a' , b' , c' を物質によらない各式のユニバーサルな定数とし $A = a' \cdot P_r / T_r^{h+1}$, $B = b' \cdot P_r / T_r$, $C = c' \cdot P_r / T_r$ である。(7)~(9)式の z の解が圧縮係数である。

3. 実測値への最適化による定数探索

前報³⁾では(7)~(9)式を cardano 法で解き実測値¹⁰⁾への最適化を試みた。最適化によってそれぞれの式の可能性について、より正しく実測値を表わしうるかについて検討した。その結果数値的な取り扱いを考慮し Redlich-Kwong 型の式を良しとした。本報ではさらにその最適化の方法を CO_2 , CH_4 , C_2H_4 の個々の物質の実測値¹¹⁾にも適用し表に示す様な結果を得た。表は探索した定数

REDLICH-KWONG TYPE

	CO_2	CH_4	C_2H_4	*
c	0.0699 (0.71)	0.0867 (1.00)	0.0814 (0.88)	0.0805 (0.79)
c'	0.0634	0.0814	0.0758	0.0763
h	0.8457 (0.33)	0.5910 (0.97)	0.6153 (0.70)	0.6076 (0.71)
a'	0.4343	0.4142	0.4183	0.4228
b'	0.0828	0.0906	0.0889	0.0831
c'	0.0885	0.0548	0.0557	0.0834
h	0.8110 (0.23)	0.5306 (0.66)	0.6294 (0.39)	0.6442 (0.59)

MORITZ TYPE

	CO_2	CH_4	C_2H_4	*
u	1.1675	0.8063	0.9071	1.1779
w	-0.7034 (0.43)	0.4521 (0.97)	0.0639 (0.89)	0.6593 (0.64)
u	0.8459	0.6483	0.6800	1.0977
w	-0.2564	0.6048	0.3266	-0.5408
h	0.8254 (0.19)	0.6312 (0.85)	0.6719 (0.58)	0.5779 (0.52)
a'	0.4434	0.4407	0.4237	0.4620
b'	0.0878	0.0939	0.0894	0.0938
u	1.3267	1.1035	0.7378	1.5793
w	-1.0127	-0.9692	-0.1897	-1.6799
h	0.7038 (0.20)	0.4699 (0.55)	0.6142 (0.37)	0.4632 (0.52)

ISHIKAWA-CHUNG-LU TYPE

	CO_2	CH_4	C_2H_4	*
	(1.99)	(4.00)	(6.84)	(1.23)
c	0.1361 (1.64)	0.1699 (4.04)	0.1704 (6.44)	0.1088 (1.23)
c'	0.1397	0.1876	0.1866	0.1088
h	0.5499 (1.66)	0.2758 (3.89)	0.1970 (6.17)	0.5276 (1.26)
a'	0.4932	0.4479	0.4555	0.4639
b'	0.1411	0.1597	0.1579	0.1381
c'	0.0620	0.0141	0.0139	0.0549
h	0.4186 (0.43)	0.0023 (0.56)	0.1416 (0.40)	0.2386 (0.68)

KOJIMA-TOCHIGI TYPE

	CO_2	CH_4	C_2H_4	*
c	0.1142 (1.19)	0.0722 (4.95)	0.1082 (4.72)	0.1021 (0.96)
c'	0.1212 (1.16)	0.1433 (3.18)	0.1381 (4.80)	0.1021 (0.96)
c'	0.1207	0.1532	0.1467	0.1020
h	0.5280 (1.16)	0.3667 (3.11)	0.3688 (4.71)	0.5192 (0.98)
a'	0.4735	0.4299	0.4385	0.4474
b'	0.1187	0.1332	0.1313	0.1175
c'	0.0738	0.0246	0.0256	0.0632
h	0.5276 (0.38)	0.1537 (0.41)	0.2914 (0.30)	0.3624 (0.61)
a'	0.4194	0.4271	0.4283	0.4292
b'	0.0897	0.1283	0.1129	0.0929
c'	0.0650	0.0271	0.0363	0.0766
h	0.7239	0.1870	0.4198	0.5519
m	0.3035 (0.26)	1.3827 (0.40)	0.9989 (0.28)	0.5550 (0.57)

* generalized

表 cubic 型状態方程式の最適化

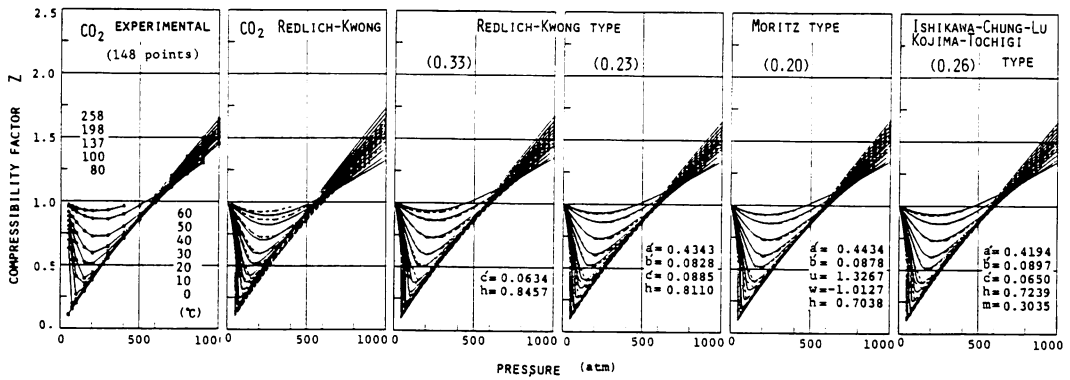


図-1 種々の cubic 型の式の最適化による P~Z 線図 (CO₂)

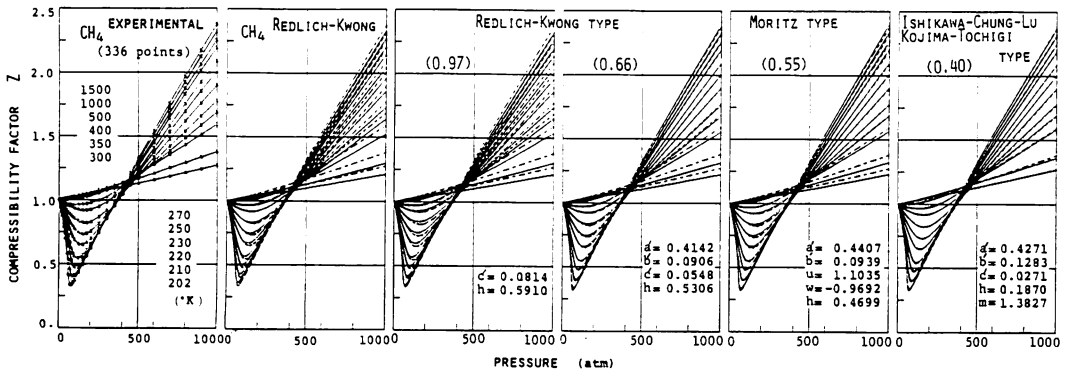


図-2 種々の cubic 型の式の最適化による P~Z 線図 (CH₄)

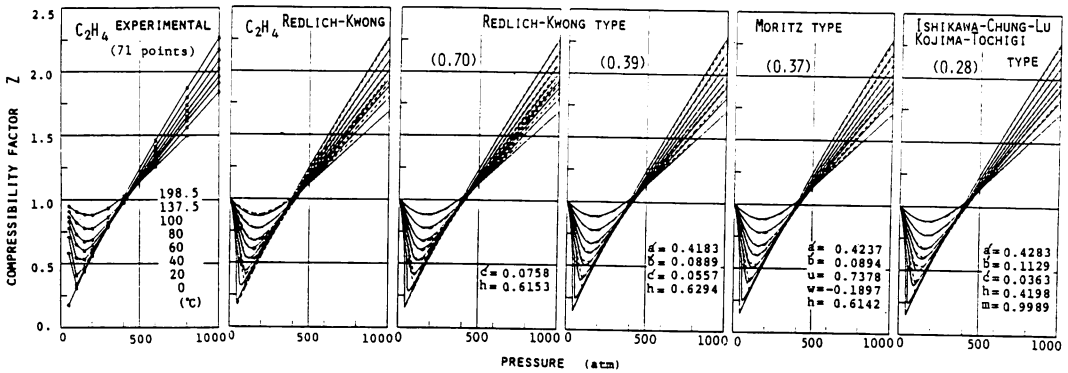


図-3 種々の cubic 型の式の最適化による P~Z 線図 (C₂H₄)

と () の中に誤差指標が示されている。誤差指標とは実測値からのずれを計算点ごとに積算した値を元の Redlich-Kwong 式のそれを 1.00 とした値である。表の右端は一般化式について後述の 5 の方法による結果である。個々の物質については結果の一部を図-1~3 に示した。CO₂ の場合は Moritz 型が、CH₄、C₂H₄ については小島-栃木型の式が誤差指標が小さく

なっている。van der Waals 式の誤差指標が CO₂、CH₄、C₂H₄ についてそれぞれ 6.05, 8.03, 14.68、一般化式の場合の誤差指標は 4.05 であった。すなわち van der Waals 式から Redlich-Kwong 式への改良によって数倍実測値を正しく表わすことの出来る式が登場したことになる。以来 36 年、数々の改良式、修正式が提出されているが大巾な修正、誤差の縮小はなされていない様である。

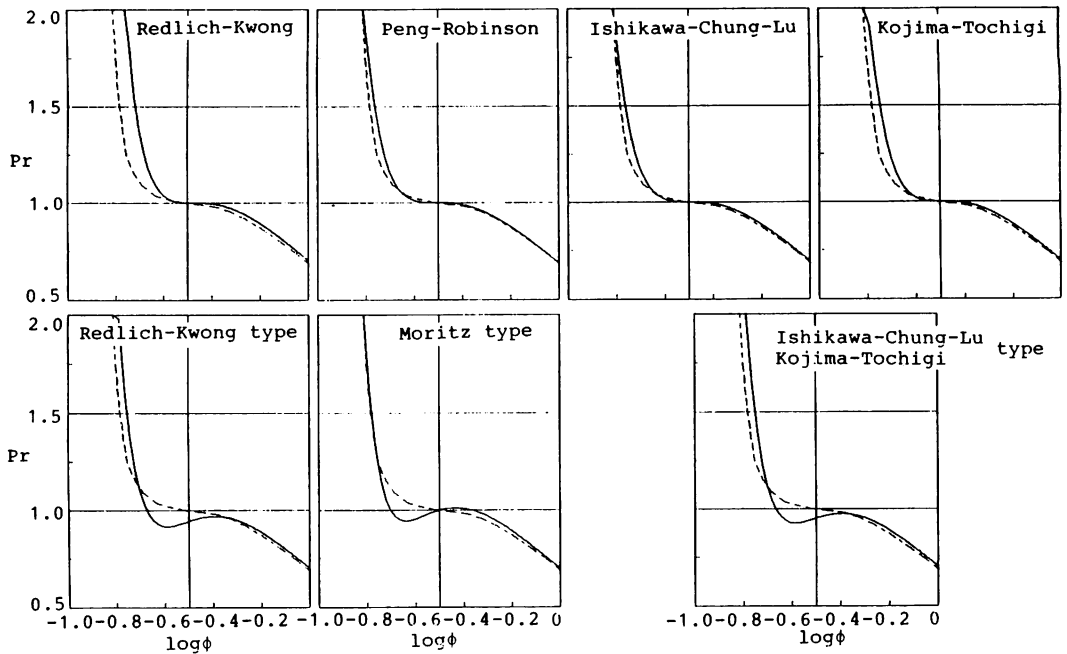


図-4 cubic型状態方程式の ϕ - P_r 線図 ($T_r=1.00$)

4. cubic型状態方程式の解の吟味

Pengら⁷⁾はcubic型の状態方程式において3つの実根が求まる場合一番大きな解が気相、一番小さな解が液相を示しているとしている。著者らの前報³⁾の最適化式の場合臨界点付近では次の様な注意すべきことが生じた。(1)~(3)式に理想臨界体積 $v_{ci}=RT_c/P_c$ 、理想換算体積 $\phi=v/v_i$ を導入し一般化すると(10)~(12)式を得る。

$$P_r = \frac{T_r}{\phi - b'} \frac{a' T_r^{-h}}{\phi(\phi + c')} \quad \dots(10)$$

$$P_r = \frac{T_r}{\phi - b'} - \frac{a' T_r^{-h}}{\phi^2 + ub'\phi + wb'^2} \quad \dots(11)$$

$$P_r = \frac{T_r}{\phi} \frac{\phi + s \cdot b'}{\phi - (1-s) \cdot b'} - \frac{a' T_r^{-h}}{\phi(\phi + c')} \quad \dots(12)$$

(10)~(12)式に基づいて横軸に $\log \phi$ 、縦軸に P_r をプロットすると図-4が得られた。図の上側は元の式、下側が著者らの最適化式で明らかに臨界点付近での不都合が生じている。図は $T_r=1.00$ の場合のみを示しているが $P_r < 1$ の時は最大の解が、 $P_r > 1$ の時は最小の解が点線で示された実測値を良く表わしている様に見える。状態方程式には物質の気相、液相のPVT関係を連続的に表わすことが要求されるので著者らの最適化式は特に解の吟味が必要であることがわかった。

5. パーソナルコンピュータによるcubic型状態方程式の評価プログラム

パーソナルコンピュータ (NEC-9801 E) を用い cubic型の一般化状態方程式(10)~(12)の評価プログラムを作成した。それぞれの式について表に示した定数値を入力し、反復法によって ϕ を近似的に求め、圧縮係数 z を $z = \phi \cdot P_r / T_r$ により計算する。結果は“圧縮係数の一般化線図” $P_r \sim z$ 線図と誤差指標で示される。表の右端の()の数値が結果の一部である。このプログラムは新しいcubic型の式が提出された際に手軽に式の“全体像”を見るために作られているが、本校の「パソコンによる示範教育システム」¹²⁾にも用いられている。プログラムリストを附記した。

6. ま と め

cubic型の状態方程式の実測値への最適化による定数探索を CO_2 、 CH_4 、 C_2H_6 について行った。誤差指標などの考察から、cubic型の状態方程式においても定数が多くなると数値計算が難しくなったり、定数そのものの意味合い、何を表わす定数かが明らかでなくなる。従って簡便さを考慮し定数の少ないRedlich-Kwong型の式 $P = \frac{RT}{v-b} - \frac{aT^{-h}}{v(v+c)}$ が親しみやすく優れていると

判断した。

参 考 文 献

- 1) 笹村, 宇野, 本校紀要, 第20号, 45 (1985)
- 2) Redlich, Kwong, Chem. Rev., **44**, 233 (1949)
- 3) 笹村, 宇野, 本校紀要, 第18号, 63 (1983), 第19号, 45 (1984)
- 4) Feller, IEC Fundam., **15**, 254 (1976)
- 5) Usdim, Mcauliff, J. Chem, Eng. Sci., **31**, 1077 (1976)
- 6) 大江, 化学工学協会47年会講演要旨集, B305 (1982)
- 7) Peng, Robinson, IEC, Fundam., **15**, 59 (1976)
- 8) 石川, Chung, Lu, AIChE, Journal, **26**, 372 (1980)
- 9) 栃木, 栗原, 高野, 小島, 化学工学協会秋季大会要旨集, p392 (1983)
- 10) Viswanath, Su, AIChE, Journal, **11**, 202 (1965)
- 11) 日本化学会編「化学便覧」p490 (昭和41年), 改訂2版, p694 (昭和50年)
- 12) 中津他, 59年度高専情報処理研究発表会予稿集, 第4号, p.7 (1984)

(昭和60年11月30日受理)

附記

プログラムリスト

```

1000 WIDTH 80,25;CONSOLE 0.25,0.1;CLS 3
1010 LOCATE 7,4;COLOR 6
1020 PRINT "Generalized Equations of State"
1030 LOCATE 26,7;COLOR 4
1040 PRINT "P=r*(Tr,φ)"
1050 LOCATE 8,10;COLOR 6
1060 PRINT "Ideal Reduced Volume"
1070 LOCATE 56,10;COLOR 4
1080 PRINT "a=V/Vc"
1090 LOCATE 8,14;COLOR 6
1100 PRINT "Ideal Critical Volume"
1110 LOCATE 37,14;COLOR 4
1120 PRINT "Vc=RTc/PC"
1130 LOCATE 8,18;COLOR 6
1140 PRINT "Compressibility factor"
1150 LOCATE 56,18;COLOR 4
1160 PRINT "Z=φ*P/Tr"
1170 LOCATE 32,22;COLOR 5;PRINT "Hit space key"
1180 AB=INKEY$;IF ASC(AB) THEN 1180
1190
1200
1210
1220 WIDTH 80,25;CONSOLE 0.25,0.1;CLS 3
1230 LOCATE 10,8;PRINT "(1) Redlich-Kwong type"
1240 LOCATE 10,10;PRINT "(2) Moritz type"
1250 LOCATE 10,12;PRINT "(3) Kojima-Tochigi type"
1260 LOCATE 10,14;PRINT "Which equation do you prefer?"
1270 LOCATE 13,22;PRINT "Hit any key 1-3"
1280 IF Z&"1" OR Z&"2" OR Z&"3" THEN 1270
1290 Z=VAL(Z)
1300 IF Z=1 THEN RESTORE 1620
1310 IF Z=2 THEN RESTORE 2090
1320 IF Z=3 THEN RESTORE 1020
1330 END
1340 IF Z=1 THEN RUN "Z1Rt-C"
1350 IF Z=2 THEN RUN "Z2Rt-C"
1360 IF Z=3 THEN RUN "Z3Rt-C"
1370 END
1380
1390
1400 SCREEN 3,0,0,1;WIDTH 80,25;CONSOLE 0.25,0.1
1410 WIDTH(0,0)-(639,399);VIEW(0,0)-(639,399)
1420 COLOR 7;CLS 3
1430 READ M
1440 FOR I=1 TO M
1450 READ PL,D14,D28,D36,D48,D58
1460 IF PL<=CHR$(10) THEN GOSUB 40
1470 IF PL<=CHR$(14) THEN GOSUB 41
1480 NEXT I
1490 CLOS# 41
1500 READ AX,Y1,Y2,COLOR;LOCATE Y1,Y2;PRINT AX
1510 LOCATE 32,22;COLOR 5;PRINT "Hit space key"
1520 AB=INKEY$;IF ASC(AB) THEN 1520
1530 RETURN
1540
1550 *
1560 X5=VAL(D18); Y5=VAL(D28); KAN=COL=VAL(D38)
1570 COL1=VAL(D48); COL2=VAL(D58)
1580 PUT (X5,Y5),KANJ(KAN,COL1),PSE1,COL1,COL2
1590 RETURN
1600
1610
1620 *
1630 X1=VAL(D18); Y1=VAL(D28); X2=VAL(D38); Y2=VAL(D48)
1640 COL3=VAL(D58)
1650 LINE (X1,Y1)-(X2,Y2),COL3
1660 RETURN
1670
1680 Rst
1690 DATA 26
1700 DATA P,192,192,812350,4.0,P,208,192,81272,4.0,P,216,192,812161,4.0
1710 DATA P,240,208,812655,4.0,P,256,208,812350,4.0,P,272,208,812362,4.0
1720 DATA P,288,208,8127,4.0,P,304,176,812354,4.0,P,344,176,8127,4.0
1730 DATA P,304,192,812150,4.0,P,328,208,812655,4.0,P,344,208,8128,4.0
1740 DATA P,352,208,812655,4.0,P,368,208,812354,4.0,P,384,208,812363,4.0
1750 DATA P,400,208,8127,4.0,P,408,208,8129,4.0,P,352,176,812361,4.0
1760 DATA P,368,176,8127,4.0,P,376,176,812354,4.0,P,392,176,8127,4.0
1770 DATA P,400,168,8127,4.0,P,408,168,8128,4.0,L,238,199,229,199,4
1780 DATA L,327,199,425,199,4,.....
1790 DATA Redlich-Kwong type,24,7
1800
1810 *It
1820 DATA 44
1830 DATA P,176,192,812350,4.0,P,184,192,81272,4.0,P,192,192,812161,4.0
1840 DATA P,176,208,812655,4.0,P,176,176,812354,4.0,P,192,176,8127,4.0
1850 DATA P,200,192,812176,4.0,P,224,208,812655,4.0,P,240,208,812150,4.0
1860 DATA P,256,208,8129,4.0,P,264,208,812331,4.0,P,280,208,812150,4.0
1870 DATA P,276,208,812340,4.0,P,312,208,812138,4.0,P,328,208,812334,4.0
1880 DATA P,344,208,8129,4.0,P,352,208,812126,4.0,P,368,208,812126,4.0
1890 DATA P,384,208,8127,4.0,P,384,176,812655,4.0,P,244,176,812150,4.0
1900 DATA P,280,176,812340,4.0,P,296,176,812138,4.0,P,312,176,812334,4.0
1910 DATA P,328,176,812126,4.0,P,352,176,812121,4.0,P,344,176,812362,4.0
1920 DATA P,336,176,8127,4.0,P,400,192,812150,4.0,P,424,208,812655,4.0
1930 DATA P,448,208,8127,4.0,P,448,208,812655,4.0,P,464,208,812150,4.0
1940 DATA P,480,208,8127,4.0,P,496,208,8127,4.0,P,304,208,8129,4.0
1950 DATA P,448,176,812361,4.0,P,464,176,8127,4.0,P,472,176,812354,4.0
1960 DATA P,488,176,812372,4.0,P,504,168,8120,4.0,P,312,168,8128,4.0
1970 DATA L,170,199,201,199,4,L,215,199,392,199,4,L,421,199,527,199,4
1980 DATA .....
1990 DATA Kojima-Tochigi type,24,7
2000
2010 Rst
2020 DATA 31
2030 DATA P,176,192,812350,4.0,P,192,192,81272,4.0,P,200,192,812161,4.0
2040 DATA P,224,208,812655,4.0,P,240,208,812350,4.0,P,256,208,812362,4.0
2050 DATA P,272,208,8127,4.0,P,280,176,812354,4.0,P,256,176,8127,4.0
2060 DATA P,288,192,812150,4.0,P,312,208,812655,4.0,P,328,208,81132,4.0
2070 DATA P,336,208,812150,4.0,P,352,208,812375,4.0,P,368,208,812362,4.0
2080 DATA P,384,208,8127,4.0,P,392,208,812655,4.0,P,408,208,812150,4.0
2090 DATA P,424,208,812377,4.0,P,440,208,812362,4.0,P,454,208,8127,4.0
2100 DATA P,352,176,812361,4.0,P,468,176,8127,4.0,P,376,176,812354,4.0
2110 DATA P,392,176,8127,4.0,P,400,170,8120,4.0,P,408,170,8128,4.0
2120 DATA P,440,204,81132,4.0,L,217,199,288,199,4,L,310,199,466,199,4
2130 DATA .....
2140 DATA Moritz type,28,7

```

```

1000 WIDTH 80,25;CONSOLE 0.25,0.1;CLS 3;SCREEN 3,1
1010 INPUT "A0:"A0
1020 INPUT "B0:"B0
1030 INPUT "C0:"C0
1040 INPUT "M:"M
1050 DIM TR(9),ZP(70),P(70),Z(70)
1060 RESTORE 1620
1070 PRINT "FOR I=1 TO M;READ TR(I);NEXT I"
1080 CLS 3;COLOR 140
1090 S0=1;C0
1100 FOR J=1 TO M
1110 READ MP
1120 FOR I=1 TO M;READ P(I);NEXT I
1130 FOR I=1 TO M;READ Z(I);NEXT I
1140 FOR I=1 TO M
1150 LINE (P(I)+60*99,300-Z(I)+200)-(P(I)+60*99,300-Z(I)+200),2
1160 NEXT I
1170 LOCATE 15,0;COLOR 7;PRINT "Redlich-Kwong Type Equation"
1180 I=I+1;J
1190 FOR I=1 TO MP
1200 IF I=1 THEN GOTO 1350
1210 P=P*(I)
1220 Y=Y+P
1230 I=C+I
1240 L=0
1250 Y5=Y
1260 Y=Y*(Y+AD+T*(H)/Y*(Y+C))+B0
1270 L=L+1
1280 IF Y<=0.001 THEN Y=0.001
1290 IF L=100 THEN 1310
1300 IF ABS((Y5-Y)/Y)>.001 THEN 1250
1310 ZP(I)=Y+P
1320 OF=ABS(ZP(I)-Z(I))
1330 S0=S0*OF
1340 IF ZP(I)>1.4 THEN 1390
1350 FOR I=0 TO ZP(I)-1
1360 P(I)=ZP(I)
1370 LINE (P(I)+60*99,300-ZP(I)-1+200)-(P(I)+60*99,300-ZP(I)+200),7
1380 NEXT I
1390 NEXT J
1400 LOCATE 50,0;PRINT "S0:"S0
1410 P2=50.4,13126
1420 LOCATE 65,0;PRINT "P2:"P2
1430 Z5=INPUT("I):I;Z&"5" THEN 1430
1440 RUN "Z5main-C"
1450 END
1460 *
1470 LINE (59,20)-(69,29),4,8
1480 FOR I=20 TO 29;STEP 20
1490 LINE (99,1)-(69,1),4
1500 NEXT I
1510 FOR I=99 TO 69;STEP 60
1520 LINE (1,20)-(1,29),4
1530 NEXT I
1540 LOCATE 8,1;COLOR 6;PRINT "1.4" LOCATE 8,3;PRINT "1.2" LOCATE 8,4;PRINT "1.0"
1550 LOCATE 8,8;PRINT "0.8"
1560 LOCATE 8,14;PRINT "0.6" LOCATE 8,13;PRINT "0.4" LOCATE 8,16;PRINT "0.2"
1570 LOCATE 10,1;PRINT "0"
1580 LOCATE 12,19;PRINT "0" LOCATE 19,19;PRINT "1" LOCATE 27,19;PRINT "2"
1590 LOCATE 34,19;PRINT "3"
1600 LOCATE 42,19;PRINT "4" LOCATE 50,19;PRINT "5" LOCATE 57,19;PRINT "6"
1610 LOCATE 65,19;PRINT "7"
1620 LOCATE 72,19;PRINT "8" LOCATE 79,19;PRINT "9"
1630 LOCATE 84,21;PRINT "REDUCED PRESSURE" LOCATE 4,9;PRINT "(Z)"
1640 RETURN
1650 *
1660 DATA 1,1,1,1,1,1,2,1,3,1,5,2,2,5
1670 DATA 1,1,1,1,1,1,2,1,3,1,5,2,2,5
1680 DATA 1,1,1,1,1,1,2,1,3,1,5,2,2,5
1690 DATA 0,784,341,378,455,5,57,628,684,744,802,86,919,955,98,9
9,1,1,041,1,071,1,149,1,205,1,241,1,318,1,375,1,432,1,5,1,547,1,606,1,665,1,724,
2,2,298,2,3,3,5,4,5,5,5,5,6,6,6,7,7,7,8,8,8,9
1700 DATA 1,1,971,967,939,912,791,756,722,689,652,606,559,498,45,4,
45,3,24,224,215,219,221,228,233,241,247,253,259,267,273,308,34
3,364,431,49,548,603,66,717,772,826,884,947,1,002,1,061,1,119
1710 DATA 0,784,341,378,455,5,57,628,684,744,802,86,919,1,1,034,1,0
9,1,148,1,205,1,241,1,318,1,375,1,432,1,5,1,547,1,606,1,665,1,724,1,782,1,841,1
9,1,959,7,2,073,2,129,2,185,2,242,2,298,2,41,2,5,2,58,2,81,3,3,3,4,4,5,5,5,6,
4,5,7,7,5,8
1720 DATA 0,5,9
1730 DATA 1,1,924,907,891,872,859,840,821,802,782,766,749,729,701,6
89,649,647,622,599,572,546,517,49,467,45,436,422,414,408,404,401,
4,4,4,401,404,408,411,42,426,433,454,473,519,567,616,667,719,771
822,877
1740 DATA ,920,976,1,024,1,074
1750 DATA 35
1760 DATA 0,784,341,378,455,5,57,628,684,86,1,1,149,1,319,1,5,1,724,1,841,2,2,129,2,
242,2,298,2,41,2,5,2,58,2,695,2,81,3,3,3,5,4,5,5,5,6,6,6,7,7,7,8,8,8,9
1770 DATA 1,1,944,922,902,872,849,823,791,757,716,67,612,589,567,55
3,544,542,539,538,531,543,552,579,614,656,701,751,798,846,89
1,939,983,1,031,1,073
1780 DATA 20
1790 DATA 0,25,5,1,1,5,2,2,5,3,3,5,4,4,5,5,5,5,6,6,6,7,7,8,8,8,9
1800 DATA 1,1,978,973,852,774,71,668,654,662,682,711,744,781,822,863
907,949,989,1,031,1,072
1810 DATA 20
1820 DATA 0,25,5,1,1,5,2,2,5,3,3,5,4,4,5,5,5,5,6,6,6,7,7,8,8,8,9
1830 DATA 1,1,973,966,972,968,961,957,953,953,96,949,98,991,1,003,1,0
16,1,031,1,05,1,076,1,098,1,119
1840 DATA 0,25,5,1,1,5,2,2,5,3,3,5,4,4,5,5,5,5,6,6,6,7,7,8,8,8,9
1850 DATA 1,1,973,966,972,968,961,957,953,953,96,949,98,991,1,003,1,0
16,1,031,1,05,1,076,1,098,1,119
1860 DATA 20
1870 DATA 0,25,5,1,1,5,2,2,5,3,3,5,4,4,5,5,5,5,6,6,6,7,7,8,8,8,9
1880 DATA 1,1,1,999,998,997,998,999,1,001,1,003,1,009,1,016,1,023,1,032,1,0
43,1,057,1,07,1,086,1,103,1,12,1,144
1890 DATA 1,1,1,999,998,997,998,999,1,001,1,003,1,009,1,016,1,023,1,032,1,0
43,1,057,1,07,1,086,1,103,1,12,1,144
1900 INPUT "A0:"A0
1910 INPUT "B0:"B0
1920 INPUT "C0:"C0
1930 INPUT "M:"M
1940 INPUT "H:"H
1950 INPUT "I:"I
1960 LOCATE 15,0;COLOR 7;PRINT "Kojima-Tochigi Type Equation"
1970 Y=Y*(Y+AD+T*(H)/Y*(Y+C))+B0
1980 INPUT "A0:"A0
1990 INPUT "B0:"B0
2000 INPUT "C0:"C0
2010 INPUT "M:"M
2020 INPUT "H:"H
2030 INPUT "I:"I
2040 INPUT "H:"H
2050 INPUT "M:"M
2060 LOCATE 15,0;COLOR 7;PRINT "Kojima-Tochigi Type Equation"
2070 Y=Y*(Y+AD+T*(H)/Y*(Y+C))+B0

```